



เอกสารอ้างอิง

1. IEC Publ. No.71, "Insulation Co-ordination," 1967.
2. Thunyapongchai, P., "Design and Construction of A 100 kV High Voltage Testing Transformer, "Master thesis, Chulalongkorn University, 1977.
3. มนตรี โขษมานะ, "การออกแบบและสร้างหม้อแปลงทดสอบ 100 kV 10 kVA ใช้ก๊าซ SF₆ เป็นฉนวน, " วิทยานิพนธ์ปริณิถัมภ์มหาบัณฑิต, ภาควิชาวิศวกรรมไฟฟ้า คณะวิศวกรรมศาสตร์ จุฬาลงกรณ์มหาวิทยาลัย, 2529.
4. สำราญ สังข์สะอาด, วิศวกรรมไฟฟ้าแรงสูง, ภาควิชาวิศวกรรมไฟฟ้า คณะวิศวกรรมศาสตร์ จุฬาลงกรณ์มหาวิทยาลัย, กรุงเทพมหานคร, 2528.
5. MWB MESSWANDLER-BAU AG, "Test Transformers," Catalogue No.B 12/1e, Bamberg.
6. A. K. Sawhney, Electrical Machine Design, Dhanpat Rai and Sons, Delhi, 1984.
7. Shirai, M., and Matsumoto, M., " SF₆ Gas Insulated Transformer, " IEEE-Symposium November '84, Bangkok, 1984.
8. IEC Publ. No.76, "Power Transformers," 1976.
9. Greenwood, A., Electrical Transients in Power Systems, Wiley-Inter-science, Pennsylvania, 1971.
10. Mc Donald, D., Power Transformers for High-Voltage Transmission, Jesse Broad & Co., Ltd., Manchester, 1957.
11. M. Kostenko, L. Piotrousky, Electrical Machines, Foreign Languages Publishing House, Moscow, 1967.
12. Kuffel, E., and Zaengl, W.S., High Voltage Engineering, Pergamon Press, Oxford, 1984.
13. ไสว ฐานิพานิชสกุล, หม้อแปลง, หก.พันธ์ พิมพ์ซิ่ง, 2525.
14. บริษัทลวดอาบนำยาไทย จำกัด, "ข้อมูลและเทคนิคของลวดอาบนำยา", กรุงเทพมหานคร
15. Nippon Steel Corporation, "Silicon Steel," Catalogue No.EXE 320, Tokyo, 1976.

16. Banspach, H., Transformer Design. Lecture Notes, Thai German Technical Teacher College, Bangkok, 1st ed., 1975.
17. Kuhlman, John H., Design of Electrical Apparatus. Wiley & Sons Inc., New York, 3rd ed., 1950.
18. Alston, L. L., High Voltage Technology. Oxford University Press, 1968.
19. IEC Publ. No.156, "Method for The Determination of The Electric Strength of Insulating Oils", 1963.
20. บริษัทอุตสาหกรรมท่อน้ำไทย จำกัด, "ท่อน้ำไทย", กรุงเทพมหานคร
21. IEC Publ. No. 270, "Partial Discharge Measurements," 1981.
22. Abekawa paper's "Insulating Papers (Kraft) and Press Boards," Tokyo.
23. J.P. Halman, Heat Transfer, McGraw-Hill, Singapore, 5th ed., 1984.
24. Bean, Richard L., Chackan Jr., Nicholas, Moore, Harold R., and Wentz, Edward C., Transformer for the Electric Power Industry. Westinghouse Electric Corporation, 1959.

ศูนย์วิทยทรัพยากร
จุฬาลงกรณ์มหาวิทยาลัย

ภาคผนวก ก.

ตัวอย่างขนาดขดลวดทองแดงและกระดาษฉนวน

ก.1 ตัวอย่างขนาดขดลวดทองแดงและชั้นการเคลือบของฉนวนมาตรฐาน มอก. 82-2527

ตารางก1 ตัวอย่างขนาดขดลวดทองแดงและชั้นการเคลือบของฉนวน

เส้นผ่านศูนย์กลางของ ลวดเบลีอช มม.			ชั้น 0		ชั้น 1		ชั้น 2	
			มม.		มม.		มม.	
ระบุ	ต่ำสุด	สูงสุด	ก.	ข.	ก.	ข.	ก.	ข.
0.080	0.077	0.083	0.024	0.116	0.016	0.105	0.009	0.098
0.250	0.246	0.254	0.048	0.320	0.031	0.301	0.020	0.284
0.315	0.311	0.319	0.053	0.391	0.034	0.371	0.022	0.352
0.950	0.940	0.960	0.082	1.070	0.058	1.041	0.039	1.017
2.360	2.336	2.384	0.105	2.522	0.076	2.488	0.051	2.459
3.150	3.118	3.182	0.113	3.330	0.082	3.294	0.056	3.263

ก. คือ สอง เท่าของความหนาต่ำสุดในการเคลือบ

ข. คือ ขนาดเส้นผ่านศูนย์กลางสูงสุดของลวดเคลือบ

ก.2 ตัวอย่างคุณสมบัติของกระดาษครีเอต และกระดาษอัดแรง [22] มาตรฐาน JIS

ตาราง ก.2.1 คุณสมบัติของกระดาษครีเอตมาตรฐาน JIS

ความหนา มม.	ความหนาแน่น กรัม/ลบ.ซม.	กำลังดึง (Tensile strength) กก./ตร.มม.		ความคงทนต่อแรงดัน ไฟฟ้าต่ำสุด กิโลโวลต์/มม.
		แนวยาว	แนวขวาง	
0.045	0.60 ~ 850	Min 4.5	Min 1.5	Average 5.5
0.050	0.60 ~ 850	Min 4.5	Min 1.5	Average 5.5
0.080	0.60 ~ 850	Min 4.5	Min 1.5	Average 5.5
0.130	0.60 ~ 850	Min 4.5	Min 1.5	Average 5.5
0.250	0.60 ~ 850	Min 4.5	Min 1.5	Average 5.5
0.380	0.60 ~ 850	Min 4.5	Min 1.5	Average 5.5

ตาราง ก.2.2 คุณสมบัติของกระดาษอัดแรงมาตรฐาน JIS

ความหนา มม.	ความหนาแน่น กรัม/ลบ.ซม.	กำลังดึง		ความคงทนต่อแรงดัน ไฟฟ้าต่ำสุด กิโลโวลต์/มม.
		แนวยาว	แนวขวาง	
0.8	0.90-1.25	Min 5.0	Min 2.0	Min 7.0
1.6	0.90-1.25	Min 5.0	Min 2.0	Min 7.0
2.4	0.90-1.25	Min 5.0	Min 2.0	Min 7.0
3.2	0.95-1.25	Min 4.5	Min 2.0	Min 6.0

ภาคผนวก ข .

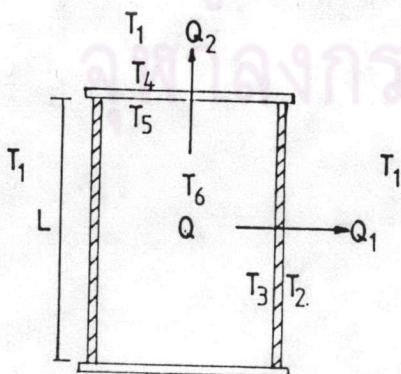
การหาอุณหภูมิเพิ่มของขดลวดและของน้ำมันหม้อแปลง
เพื่อกำหนดค่าความหนาแน่นกระแสสำหรับออกแบบขดลวด

จากเอกสารอ้างอิง [17] ขดลวดหม้อแปลงที่ใช้กระดาษและผ้าเป็นฉนวนจุ่มอยู่ในน้ำมันหม้อแปลง อุณหภูมิเพิ่มของขดลวดจะคงไม่เกิน 55 °C และอุณหภูมิเฉลี่ยของน้ำมันหม้อแปลงเพิ่มขึ้นไม่เกิน 40 °C การระบายความร้อนอาศัยการหมุนเวียนของน้ำมันตามธรรมชาติ กำลังให้หาสูญเสียค่อพื้นที่ของขดลวด จะมีค่าประมาณ 700 วัตต์/ม²

หม้อแปลงทดสอบที่ออกแบบสร้าง ใช้ห้องฉนวนพีวีซีเป็นตัวถัง ซึ่งจะเริ่มอุ่นตัวที่อุณหภูมิประมาณ 76 °C [20] จึงกำหนดอุณหภูมิสูงสุดของน้ำมันหม้อแปลงไม่ควรเกิน 70 °C หม้อแปลงทดสอบเป็นหม้อแปลงที่ใช้ภายในอาคาร ซึ่งมีอุณหภูมิของอากาศโดยรอบ ประมาณ 30 °C ดังนั้นอุณหภูมิเพิ่มของน้ำมันเทียบกับอากาศโดยรอบจะมีค่า 40 °C ซึ่งเป็นไปตามเอกสารอ้างอิงที่กล่าวถึง

ข.1 คำนวณปริมาณความร้อนสูงสุดที่สามารถเกิดขึ้นได้ในถังหม้อแปลงทดสอบ

ถังฉนวน พีวีซี ปิดหัวท้ายด้วยโลหะเหล็ก ดังรูป ข.1 ปริมาณความร้อนถ่ายเทจากถังฉนวน โดยผ่านรอบตัวถัง พีวีซี มีปริมาณเท่ากับ Q₁ และผ่านฝาโลหะด้านบน มีปริมาณเท่ากับ Q₂ ส่วนฝาโลหะด้านล่างปริมาณความร้อนที่ถ่ายเทออกมีน้อยมาก จะไม่คำนึงถึง



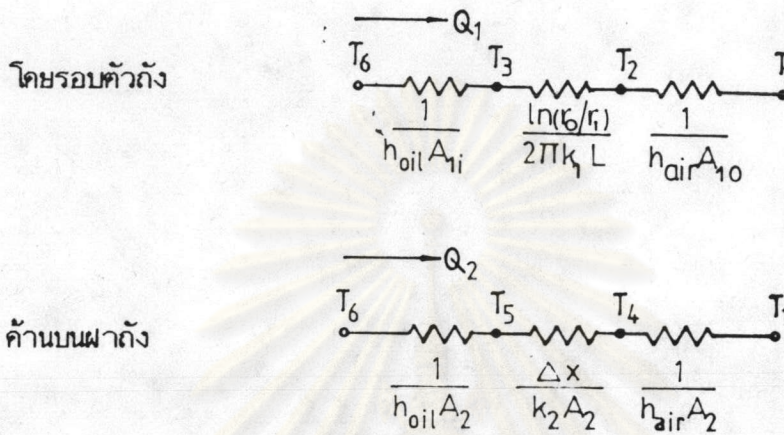
- T₁ = อุณหภูมิอากาศโดยรอบ = 30 °C
- T₂ = อุณหภูมิที่ผิวด้านนอกของถังพีวีซี
- T₃ = อุณหภูมิที่ผิวด้านในของถังพีวีซี
- T₄ = อุณหภูมิที่ผิวด้านนอกของฝาโลหะเหล็ก
- T₅ = อุณหภูมิที่ผิวด้านในของฝาโลหะเหล็ก
- T₆ = อุณหภูมิของน้ำมันหม้อแปลง = 70 °C
- Q = ปริมาณความร้อนทั้งหมดภายในถังหม้อแปลง

Q₁ = ปริมาณความร้อนที่ถ่ายเทผ่านถังพีวีซี

Q₂ = ปริมาณความร้อนที่ถ่ายเทผ่านฝาโลหะด้านบน

รูป ข.1 ปริมาณความร้อนที่ถ่ายเทออกจากถังหม้อแปลง และอุณหภูมิที่ตำแหน่งต่าง ๆ

การไหลของปริมาณความร้อนจากภายในถังหม้อแปลง ไปสู่อากาศรอบ ๆ สามารถเขียน
เทียบเป็นวงจรไฟฟ้า ได้ดังนี้ [23]



$$\text{ปริมาณความร้อน } Q_1 = (T_6 - T_1) / \left[\left\{ \frac{1}{h_{oil} \cdot A_{1i}} \right\} + \left\{ \frac{\ln(r_o/r_i)}{2 \pi k_1 L} \right\} + \left\{ \frac{1}{h_{air} \cdot A_{1o}} \right\} \right] \quad w$$

$$\text{ปริมาณความร้อน } Q_2 = (T_6 - T_1) / \left[\left(\frac{1}{h_{oil} \cdot A_2} \right) + \left(\frac{\Delta x}{k_2 \cdot A_2} \right) + \left(\frac{1}{h_{air} \cdot A_2} \right) \right] \quad w$$

$$T_1 = 30 \text{ } ^\circ\text{C}$$

$$T_2 = 70 \text{ } ^\circ\text{C}$$

$$h_{air} = \text{สัมประสิทธิ์การระบายความร้อนของอากาศ [7]} = 10 \text{ w/m}^2 - ^\circ\text{C}$$

$$h_{oil} = \text{สัมประสิทธิ์การระบายความร้อนของน้ำมันหม้อแปลง [7]} = 80 \text{ w/m}^2 - ^\circ\text{C}$$

$$k_1 = \text{สภาพการนำความร้อนของ พิวซี [20]} = 0.145 \text{ w/m} - ^\circ\text{C}$$

$$k_2 = \text{สภาพการนำความร้อนของ โลหะ เหล็ก [23]} = 67 \text{ w/m} - ^\circ\text{C}$$

$$r_1 = \text{รัศมีภายในของท่อ พิวซี} = 0.195 \text{ m}$$

$$r_o = \text{รัศมีภายนอกของท่อ พิวซี} = 0.210 \text{ m}$$

$$L = \text{ความสูงของท่อ พิวซี} = 0.65 \text{ m}$$

$$A_{1i} = \text{พื้นที่ผิวด้านในของท่อ พิวซี} = 2 \pi r_1 L = 0.796 \text{ m}^2$$

$$A_{1o} = \text{พื้นที่ผิวด้านนอกของท่อ พิวซี} = 2 \pi r_o L = 0.858 \text{ m}^2$$

$$A_2 = \text{พื้นที่ผิวของ โลหะ เหล็ก} = \pi r^2 = 0.173 \text{ m}^2 \quad (r = 0.235 \text{ m})$$

$$\Delta x = \text{ความหนาของแผ่น โลหะ เหล็ก} = 0.013 \text{ m}$$

$$Q = \text{ปริมาณความร้อนที่ถ่ายเททั้งหมด} = Q_1 + Q_2$$

หลังจากแทนค่าต่าง ๆ ลงในสมการแล้ว จะได้

$$Q_1 = 227 \text{ W}$$

$$Q_2 = 49 \text{ W}$$

ดังนั้น ปริมาณความร้อนทั้งหมดที่เกิดขึ้นภายในถัง พิวิซี จึงไม่ควรเกิน $227+49=276 \text{ W}$

จากการออกแบบในบทที่ 3 กำหนดความหนาแน่นของกระแสในขดลวดแรงดันต่ำเท่ากับ 265 A/cm^2 มีกำลังไฟฟ้าสูญเสียเท่ากับ 52.73 W และกำหนดความหนาแน่นของกระแสในขดลวดแรงดันสูงเท่ากับ 64 A/cm^2 มีกำลังไฟฟ้าสูญเสียเท่ากับ 21.51 W และกำลังไฟฟ้าสูญเสียในแกนเหล็กเท่ากับ 54.26 W รวมกำลังไฟฟ้าสูญเสียที่เกิดขึ้นภายในถังหม้อแปลง $52.73+21.51+54.26 = 128.5 \text{ W}$ มีค่าน้อยกว่า 276 W ดังนั้นอุณหภูมิของหม้อแปลงเท่ากับจะมีค่าต่ำกว่า $70 \text{ }^\circ\text{C}$ ซึ่งปลอดภัยต่อท่อ พิวิซี ที่นำมาใช้งาน

ข.2 ขดลวดแรงดันต่ำ

จากข้อมูลการออกแบบในหัวข้อ 3.3.1 และ 3.3.4 กำหนดค่าความหนาแน่นของกระแสเท่ากับ 265 A/cm^2 มีกำลังไฟฟ้าสูญเสียของขดลวดแรงดันต่ำเท่ากับ 52.73 W คิดเป็นกำลังไฟฟ้าสูญเสียต่อพื้นที่ผิวระบายความร้อนของขดลวดแรงดันต่ำ ได้ดังนี้

$$\text{พื้นที่ผิวระบายความร้อนของขดลวดแรงดันต่ำ} = 2x(l_1xb_1)$$

$$l_1 = \text{ความยาวรอบเฉลี่ยของขดลวดแรงดันต่ำ} = 0.3782 \text{ m}$$

$$b_1 = \text{ความกว้างของขดลวดแรงดันต่ำ} = 0.176 \text{ m}$$

$$\begin{aligned} \text{พื้นที่ผิวระบายความร้อน} &= 2x(0.3782x0.176) \\ &= 0.1331 \text{ m}^2 \end{aligned}$$

ดังนั้น การสูญเสียกำลังไฟฟ้าของขดลวดแรงดันต่ำ/พื้นที่ผิวระบายความร้อน

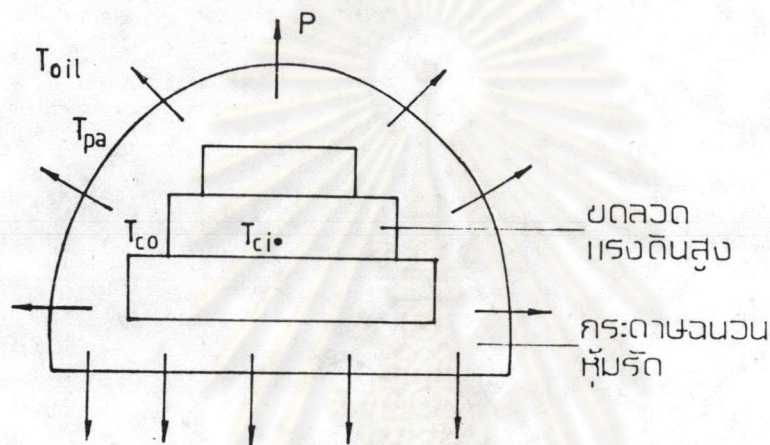
$$= 52.73/0.1331$$

$$= 396 \text{ W/m}^2$$

ซึ่งมีค่าต่ำกว่า 700 W/m^2 ความหนาแน่นของกระแสในขดลวดแรงดันต่ำเท่ากับ 265 A/cm^2 จึงเป็นค่าที่ใช้ได้

ข.3 ขดลวดแรงดันสูง

ขดลวดแรงดันสูงมีความหนามากและมีฉนวนกระดาษห่อหุ้มอย่างมิดชิด การหาอุณหภูมิเพิ่มของขดลวดแรงดันสูง จึงต้องคำนึงถึงความหนาของกระดาษที่ห่อหุ้มด้วย โดยพิจารณาจากรูป ข.2



รูป ข.2 การหาอุณหภูมิเพิ่มสูงสุดของขดลวดแรงดันสูงจากอุณหภูมิเฉลี่ยของน้ำมันหม้อแปลง

ข.3.1 การคำนวณอุณหภูมิแตกต่างระหว่าง T_{ci} กับ T_{co}

อุณหภูมิแตกต่างระหว่าง T_{ci} กับ T_{co} คำนวณจากความสัมพันธ์ [3]

$$T_{ci} - T_{co} = D_w^2 J^2 / 8 \times k_{res} \times 6$$

โดยที่ P = กำลังไฟฟ้าสูญเสียของขดลวด, w

D_w = ความหนาของขดลวด, mm

6 = สภาพการนำไฟฟ้าของทองแดงที่ $75^\circ C$ [16] = $46 m/\Omega - mm^2$

J = ความหนาแน่นกระแส, A/mm^2 กำหนด = $0.64 A/mm^2$

$k_{res} = (D_w/d_{pa}) \times k_{pa}$

k_{pa} = สภาพนำความร้อนของกระดาษ [7] = $0.128 w/m - ^\circ C$

d_{pa} = ความหนารวมของฉนวนระหว่างชั้นทั้งหมด, mm

D_w = จำนวนชั้นชดสวคแรงคัณสูง x เส้นผ่านศูนย์กลางของชดสวคแรงคัณสูง

ชดสวคแรงคัณสูงชั้นที่ 1 กว้าง = 160 mm

ชั้นที่ 2 กว้าง = 130 mm

ชั้นที่ 3 กว้าง = 110 mm

คัคความกว้าง เฉลี่ยของชดสวคแรงคัณสูง = $(160+130+110)/3$

= 133 mm

ชดสวคแรงคัณสูงมี เส้นผ่านศูนย์กลาง = 0.38 mm

ในหนึ่งชั้นจะมีจำนวนรอบชดสวค = $133/0.38$

= 350 รอบ

ชดสวคแรงคัณสูงมีจำนวนรอบทั้งหมด = 45115 รอบ

คัณนั้น จำนวนชั้นของชดสวคแรงคัณสูง = $45115/350$

= 129 ชั้น

D_w = 129×0.38

= 49 มม.

d_{pe} = จำนวนชั้นชดสวค x ความหนาฉนวนในแต่ละชั้น

= 129×0.16

= 20.64 mm

K_{res} = $(49 \times 0.128) / 20.64$

= 0.3039 w/m- $^{\circ}$ C

$T_{c1} - T_{co}$ = $(49)^2 \times (0.64)^2 / (8 \times 0.3039 \times 46)$

= 8.79 $^{\circ}$ C

ช.3.2 การคำนวณอุณหภูมิแตกต่างระหว่าง T_{co} กับ T_{pe}

อุณหภูมิแตกต่างระหว่าง T_{co} กับ T_{pe} คำนวณจากความสัมพันธ์ [24]

$$T_{co} - T_{pe} = (Pxd) / (AxK)$$

P = กำลังไฟฟ้าสูญเสียของชดสวค (w)

d = ความหนาเฉลี่ยของกระดาษฉนวนหุ้ม (m)

$$K = \text{สภาพการนำความร้อนของกระดวยฉนวน} = 0.128 \text{ W/m} \cdot \text{°C}$$

$$A = \text{พื้นที่ผิวภายนอกทั้งหมดของกระดวยฉนวน}$$

จากหัวข้อ 3.3.2 และ 3.3.4 ได้กำหนดค่าความหนาแน่นกระแสในขดลวดแรงดันสูง เท่ากับ 64 A/cm^2 มีกำลังไฟฟ้าสูญเสียของขดลวดแรงดันสูง เท่ากับ 21.51 W

$$\text{ดังนั้น } P = 21.51 \text{ W}$$

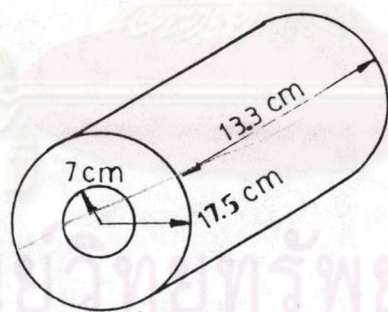
$$d = \text{จำนวนชั้นของฉนวนทั้งหมด} \times \text{ความหนาของชั้นฉนวน}$$

$$= 129 \times 0.16$$

$$= 20.65 \text{ mm}$$

$$= 0.0206 \text{ m}$$

การหาพื้นที่ผิวของกระดวยที่หุ้ม ทำโดยการประมาณพื้นที่ผิวเป็นรูปทรงกระบอก ดังในรูป ข.3 ขนาดตัวเลขเป็นค่าโดยประมาณ



รูป ข.3 พื้นที่โดยประมาณของกระดวยฉนวนที่หุ้มขดลวดแรงดันสูง

$$\begin{aligned} A &= 2\pi[(17.5)^2 - 7^2] + 2\pi \times 17.5 \times 13.3 + 2\pi \times 7 \times 13.3 \\ &= 3664 \text{ cm}^2 \\ &= 0.3664 \text{ m}^2 \end{aligned}$$

$$\begin{aligned} \text{ดังนั้น } T_{co} - T_{pa} &= (21.51 \times 0.0206) / (0.3664 \times 0.128) \\ &= 9.44 \text{ °C} \end{aligned}$$

ข.3.3 การคำนวณอุณหภูมิแตกต่างระหว่าง T_{pe} กับ T_{o11}

อุณหภูมิแตกต่างระหว่าง T_{pe} กับ T_{o11} คำนวณจากความสัมพันธ์ [24]

$$T_{pe} - T_{o11} = P / (h_{o11} \times A_{pe})$$

$$P = \text{กำลังไฟฟ้าสูญเสียของขดลวดแรงดันสูง} = 21.51 \text{ w}$$

$$A_{pe} = \text{พื้นที่ผิวทั้งหมดของฉนวนหุ้ม} = 0.3664 \text{ m}^2$$

$$h_{o11} = \text{สัมประสิทธิ์การระบายความร้อนของน้ำมันโดยประมาณ} = 80 \text{ w/m}^2\text{-}^{\circ}\text{C}$$

$$T_{pe} - T_{o11} = 21.51 / (80 \times 0.3664)$$

$$= 0.73 \text{ }^{\circ}\text{C}$$

$$\approx 1 \text{ }^{\circ}\text{C}$$

ดังนั้น อุณหภูมิเพิ่มของขดลวดแรงดันสูง เนื่องจากอุณหภูมิน้ำมันมีค่า เท่ากับ $T_{c1} - T_{o11}$

$$T_{c1} - T_{o11} = (T_{c1} - T_{co}) + (T_{co} - T_{pe}) + (T_{pe} - T_{o11})$$

$$= 8.79 + 9.44 + 1$$

$$= 19.23$$

อุณหภูมิเพิ่มของน้ำมันจากอุณหภูมิของอากาศโดยรอบ กำหนดไว้ไม่เกิน $40 \text{ }^{\circ}\text{C}$ ดังนี้

หัวข้อ ข.1

ดังนั้นอุณหภูมิเพิ่มของขดลวดแรงดันสูงจากอุณหภูมิอากาศโดยรอบ

$$= 19.23 + 40$$

$$= 59.23 \text{ }^{\circ}\text{C} > 55 \text{ }^{\circ}\text{C}$$

กรณีที่เกิดขึ้นเมื่อความร้อนภายในถัง พีวีซี มีค่าเท่ากับ 276 w แต่ความร้อนที่เกิดขึ้นภายในถังจากการออกแบบ มีค่าเท่ากับ 128.5 w อุณหภูมิเพิ่มของขดลวดแรงดันสูงจะมีค่าไม่ถึง $55 \text{ }^{\circ}\text{C}$ ดังนั้นความหนาแน่นของกระแสในขดลวดแรงดันสูง กำหนดค่าเท่ากับ 64 A/cm^2 จึงเป็นค่าที่ใช้ได้

ภาคผนวก ค.

การคำนวณขนาดการฉนวนของขดลวดแรงดันสูง

คำนวณหาความเครียดสนามไฟฟ้าของขดลวดแรงดันสูงส่วนที่อยู่ภายในแกนเหล็ก ซึ่งจะมีความเครียดสูง คำนวณความเครียดสนามไฟฟ้า 2 บริเวณด้วยกัน คือ

- บริเวณใกล้โยกค้ำข้างของแกนเหล็ก
- บริเวณใกล้โยกค้ำล่างของแกนเหล็ก

ค.1 หาความเครียดสนามไฟฟ้าของขดลวดที่อยู่ใกล้โยกค้ำข้างของแกนเหล็ก

ความเครียดสนามไฟฟ้าสูงสุด คำนวณได้จากสมการ [3]

$$E_m = (2/\pi) \times \{U/(d+r)\} / \sqrt{-\{d/(d+r)\}^2 - 1}$$

โดยที่

- E_m = ความเครียดสนามไฟฟ้าสูงสุด
- U = ความต่างศักย์ไฟฟ้าระหว่างอิลเล็กโทรด
- r = รัศมีความโค้งของขอบของชั้นขดลวด
- d = ระยะแก๊ประหว่างอิลเล็กโทรด

แรงดันสูงชั้นที่ 1 จากรูป ค.1 ระยะของขดลวดแรงดันสูงชั้นที่ 1 กับแกนเหล็กส่วนที่เป็นโยก

คือ $d_1 = 2 \text{ cm}$

ขดลวดชั้นที่ 1 ของขดลวดแรงดันสูงจะมีแรงดันสูงที่สุด

$$= \text{จำนวนรอบ} \times \text{แรงดันต่อรอบ}$$

$$= 20,160 \times 2.66$$

$$= 53.71 \quad \text{kV}$$

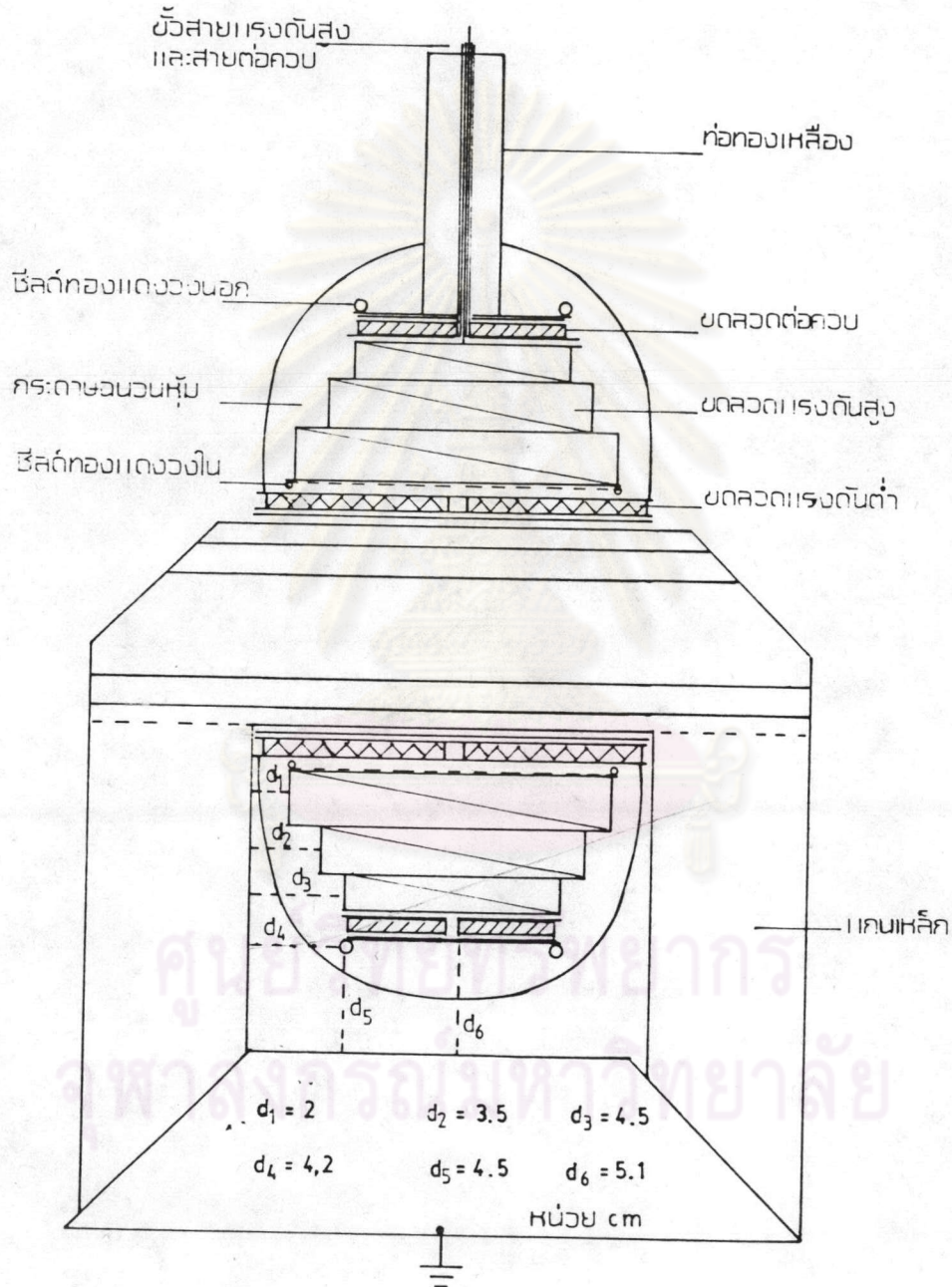
$$r = \text{รัศมีภาคตัดของขดลวดแรงดันสูง}$$

$$= 0.01575 \quad \text{cm}$$

$$\text{จะได้ } E_m = 135.96 \quad \text{kV/cm}$$

$$\text{ใช้ แพคเกจคอน = 0.5} \quad [3]$$

$$\text{จะได้ } E_m = 67.98 \quad \text{kV/cm}$$



รูป ค.1 ภาพตัดขวางของขดลวดที่ประกอบใส่แกนเหล็ก

การฉนวนเป็นเนื้อ ไดอิเล็กทริกซ้อนกันระหว่างกระดาษฉนวนจุ่มน้ำมันกับฟิล์มน้ำมันหม้อแปลง โดยที่ค่าคงที่ไดอิเล็กทริกของกระดาษจุ่มน้ำมัน เท่ากับ 3.5 ค่าคงที่ไดอิเล็กทริกของน้ำมันหม้อแปลง เท่ากับ 2.2 หากการฉนวนเป็นเนื้อกระดาษล้วน ๆ จะได้ความเครียดสูงสุดในกระดาษฉนวน $E_{m pa} = E_m$

$$E_{m pa} = 67.98 \text{ kV/cm}$$

เมื่อการฉนวนเป็น ไดอิเล็กทริก 2 ชนิด ระหว่างกระดาษกับน้ำมันหม้อแปลง จะเกิดความเครียดสูงสุดในน้ำมันหม้อแปลงดังนี้ $E_{o11} = (\epsilon_{rpa}/\epsilon_{ro11}) \cdot E_{m pa}$

$$= 108.15 \text{ kV/cm}$$

แรงดันสูงชั้นที่ 2 $d_2 = 3.5 \text{ cm}$

$$\begin{aligned} \text{ชดสลาคชั้นที่สองจะมีแรงดันสูงสุด} &= (20,160+16,027) \times 2.66 \\ &= 96.26 \text{ kV} \end{aligned}$$

$$\text{จะได้ } E_m = 184.35 \text{ kV/cm}$$

$$\text{แฟกเตอร์ลดทอน} = 0.5$$

$$E_m = 92.18 \text{ kV/cm}$$

ทำนองเดียวกัน จะได้ว่า

$$E_{pa} = 92.18 \text{ kV/cm}$$

$$E_{o11} = 146.65 \text{ kV/cm}$$

แรงดันสูงชั้นที่ 3 $d_3 = 4.5 \text{ cm}$

$$\text{ชั้นที่ 3 จะมีแรงดันสูงสุด} = 120 \text{ kV}$$

$$\text{จะได้ } E_m = 202.73 \text{ kV/cm}$$

$$\text{แฟกเตอร์ลดทอน} = 0.5$$

$$E_m = 101.36 \text{ kV/cm}$$

ทำนองเดียวกัน จะได้ว่า

$$E_{pa} = 101.36 \text{ kV/cm}$$

$$E_{o11} = 161.26 \text{ kV/cm}$$

ค.2 หาความเครียดสนามไฟฟ้าที่ขอบของซีลค์ทองแดงกับแกนเหล็ก

ขอบของแผ่นซีลค์ทองแดง เชื่อมติดด้วยลวดทองแดงขนาด เส้นผ่านศูนย์กลาง 6 mm ระยะห่างจากแกนเหล็กด้านข้าง $d_4 = 4.2$ cm รัศมีความโค้งขอบของทองแดง $r = 0.3$ mm แรงดันสูงสุดที่ซีลค์ทองแดง $U = 120$ kV เมื่อคำนวณความเครียดสูงสุด จากสูตรคำนวณ E_m จะได้ ความเครียดที่เกิดขึ้นบนกระดาษฉนวนและน้ำมันหม้อแปลงดังนี้

$$E_{pa} = 47.28 \text{ kV/cm}$$

$$E_{o11} = 94.56 \text{ kV/cm}$$

ความเครียดสนามไฟฟ้าเนื่องจากขอบแผ่นซีลค์ทองแดงที่ต่อแกนเหล็กด้านล่าง จะมีค่าน้อยกว่า ด้านข้าง เพราะวาระยะห่างด้านล่างแกนเหล็กมีค่ามากกว่าระยะห่างด้านข้างแกนเหล็ก คือ $d_5 = 4.5$ cm $>$ $d_4 = 4.2$ cm

ค.3 หาความเครียดสนามไฟฟ้าของขดลวดที่อยู่ใกล้ โย้กด้านล่างของแกนเหล็ก

การกระจายของสนามไฟฟ้าระหว่างขดลวดแรงดันสูงกับ โย้กด้านล่างของแกนหลักจะเป็นแบบสม่ำเสมอ ซึ่งหาได้จากสูตร $E_m = \text{แรงดันสูงสุด/ระยะเก็บ}$

$$\text{ระยะจากขอบซีลค์แรงดันสูง ถึง โย้ก } d_6 = 5.1 \text{ cm}$$

$$E_m = 120/5.1$$

$$= 23.53 \text{ kV/cm}$$

จะได้ว่า

$$E_{pa} = E_m = 23.53 \text{ kV/cm}$$

$$E_{o11} = 37.43 \text{ kV/cm}$$

ค.4 สรุปผล

ความเครียดสนามไฟฟ้าของกระดาษฉนวนและน้ำมันหม้อแปลงตามเอกสารอ้างอิง [4] มีค่าดังนี้

$$E_{pa} = 400 \text{ kV/cm}$$


$$E_{o11} = 200 \text{ kV/cm} \text{ เมื่อน้ำมัน ได้ผ่านการกรองแล้ว}$$

จะเห็นว่า ระยะฉนวนที่ออกแบบสามารถทนต่อแรงดันไฟฟ้าที่กำหนดไว้



ประวัติการศึกษา

ชื่อ นายปรีพันธ์ หันนัสชัยวงศ์ เกิดที่จังหวัดยะลา เมื่อวันที่ 7 กันยายน 2498
วุฒิการศึกษา วิศวกรรมศาสตรบัณฑิต สาขาวิศวกรรมไฟฟ้า
คณะวิศวกรรมศาสตร์ มหาวิทยาลัยสงขลานครินทร์ ปีการศึกษา 2522
ตำแหน่งและสถานที่ทำงาน อาจารย์ประจำภาควิชาวิศวกรรมไฟฟ้า คณะวิศวกรรมศาสตร์
มหาวิทยาลัยสงขลานครินทร์ หาดใหญ่



ศูนย์วิทยทรัพยากร
จุฬาลงกรณ์มหาวิทยาลัย